

嵌入 Ag 纳米颗粒层的 DNA 忆阻器

王媛 董瑞新 闫循领

Organic memristive devices based on DNA embedded in silver nanoparticles layer

Wang Yuan Dong Rui-Xin Yan Xun-Ling

引用信息 Citation: [Acta Physica Sinica](#), 64, 048402 (2015) DOI: 10.7498/aps.64.048402

在线阅读 View online: <http://dx.doi.org/10.7498/aps.64.048402>

当期内容 View table of contents: <http://wulixb.iphy.ac.cn/CN/Y2015/V64/I4>

您可能感兴趣的其他文章

Articles you may be interested in

基于传递函数的频率选择表面集总参数研究

[Study on the lumped parameters of FSS in terms of the transfer function](#)

物理学报.2014, 63(13): 137301 <http://dx.doi.org/10.7498/aps.63.137301>

温度改变对钛氧化物忆阻器导电特性的影响

[Influence of temperature change on conductive characteristics of titanium oxide memristor](#)

物理学报.2014, 63(9): 098402 <http://dx.doi.org/10.7498/aps.63.098402>

横截面积参数对钛氧化物忆阻器导电特性的影响

[Influence of the cross section area on the conductive characteristics of titanium oxide memristor](#)

物理学报.2014, 63(4): 048401 <http://dx.doi.org/10.7498/aps.63.048401>

Ku/Ka 波段双通带频率选择表面雷达罩设计研究

[Design and study on the dual-band radome with FSS operation at Ku-/Ka-band](#)

物理学报.2013, 62(23): 237302 <http://dx.doi.org/10.7498/aps.62.237302>

利用等效电路模型快速分析加载集总元件的微型化频率选择表面

[Quick analysis of miniaturized-element frequency selective surface that loaded with lumped elements by using an equivalent circuit model](#)

物理学报.2013, 62(20): 207301 <http://dx.doi.org/10.7498/aps.62.207301>

嵌入Ag纳米颗粒层的DNA忆阻器*

王媛 董瑞新 闫循领[†]

(聊城大学物理科学与信息工程学院, 山东省光通信和科学技术重点实验室, 聊城 252059)

(2014年8月10日收到; 2014年10月13日收到修改稿)

构建了具有“Al/DNA-CTMAB/Ag NPs/DNA-CTMAB/ITO”结构的有机忆阻器件, 并对其电流-电压($I-V$)曲线进行测量。结果表明, 嵌入Ag纳米颗粒层, 不仅可以增强器件的导电性, 而且忆阻特性也显著提高。当颗粒粒径在15—20 nm范围时, 开-关电流比 I_{ON}/I_{OFF} 能够达到 10^3 。器件的 $I-V$ 特性受扫描电压幅值 V_A 的影响, 随着 V_A 的增大, 高阻态的电流变化较小, 而低阻态的电流明显增大, 开(或关)电压 V_{SET} (V_{RESET})和 I_{ON}/I_{OFF} 增加。实验还发现, 器件高低阻状态的相互转换取决于外加电场的方向, 说明该忆阻器具有极性。

关键词: 有机忆阻器, DNA生物聚合物, Ag纳米颗粒

PACS: 84.32.-y, 73.61.-r, 73.21.Ac, 85.35.-p

DOI: 10.7498/aps.64.048402

1 引言

基于薄膜材料的阻变存储器(resistive random access memory)以其结构简单、集成度高、功耗低等优势受到业界的极大关注^[1-3]。近年来, 随着人们对电子产品需求的提高, 高速、便捷、柔性存储器的开发成为研究的热点领域之一。有机聚合物材料因其具有柔韧性高、成本低、可实现大面积成膜和三维堆叠等优点^[4,5]引起了人们对有机忆阻器的极大兴趣^[6]。与无机忆阻器件相比, 有机忆阻器件还有很多关键性能参数方面的问题需要解决: 开关比、响应速度、稳定性、存储密度等, 其工作机理以及制备和加工过程中所涉及的新结构、新材料、新方法等也有待进行深入的研究。目前, 国内外越来越多的研究人员对不同结构的有机忆阻器进行了研究, 阻变层包括单层有机物^[7,8]、有机物-金属纳米颗粒(NPs)混合物^[9,10], “有机/金属颗粒/有机”(OMO)三明治结构等^[11,12]。其中, “电极/OMO/电极”结构的器件因其稳定性好和可重复率高而备受关注。文献[12—14]利用热蒸

发技术制备了阻变层“有机/Al NPs/有机”, 研究了其忆阻性能与中间Al NPs层的厚度以及颗粒尺寸的关系, 并且发现当颗粒层的厚度小于10 nm时器件的忆阻效应消失。2013年, Jin等^[15]通过在聚三己基噻吩高分子与聚酰亚胺(PI)层之间蒸镀Au NPs, 实现了忆阻效应, 并且稳定性较好, 扫描周期达100以上。2014年, Liu等^[16]制备的ITO(氧化铟锡)/PS(聚苯乙烯)/Ag/PI/Al器件同样表现出了很好的重复性, 并且开-关电流比 I_{ON}/I_{OFF} 达到 10^3 — 10^4 。但以上器件都是通过热蒸发技术在有机薄膜上沉积金属颗粒制备的, 颗粒的大小很难控制, 而且和旋涂法相比, 成本高、制备工艺复杂。与以上研究不同, 本文以脱氧核糖核酸(DNA)和Ag NPs为材料, 采用旋涂法制备了结构为Al/DNA-CTMAB/Ag NPs/DNA-CTMAB/ITO的有机忆阻器件。一方面, DNA作为众所周知的有机生物材料之一, 具有独特的双螺旋结构、物理化学稳定性、力学刚性和自组装等优势, 但将其作为有机忆阻器的材料之一进行研究的报道却很少; 另一方面, 该方法成本低、制备工艺简单, 而且Ag NPs的尺寸能够很好地得到控制。

* 国家自然科学基金(批准号: 11375081)和山东省自然科学基金(批准号: ZR2012FM026, ZR2012FL20)资助的课题。

† 通信作者。E-mail: yanxunling@lcu.edu.cn

这些为有机忆阻器的研究提供了一种新的材料和方法.

2 实验部分

2.1 实验试剂

实验所用小牛胸腺DNA和阳离子表面活性剂十六烷基三甲基溴化铵(CTMAB)购自美国Sigma-Aldrich公司; 柠檬酸三钠购自天津市福晨化学试剂厂(中国); 硝酸银(AgNO_3 , AR级)购自郑州Paini化学试剂厂(中国); 无水乙醇的纯度为99.5%, 实验用水为二次蒸馏水.

2.2 Ag NPs的制备

首先将60 mg AgNO_3 溶解在300 mL蒸馏水中, 放入微波炉中加热至沸腾. 然后将8 mL浓度为1%的柠檬酸三钠溶液缓慢加入到上述溶液中, 再次加热沸腾1 min, 自然冷却24 h. Ag NPs的形貌和粒径通过原子力显微镜(AFM)(DCP11型, NT-MDT公司)表征. 图1是扫描范围为 $5 \mu\text{m} \times 5 \mu\text{m}$ 的Ag NPs的三维图像. 由图1可以看出, 颗粒较均匀, 直径约为8 nm.

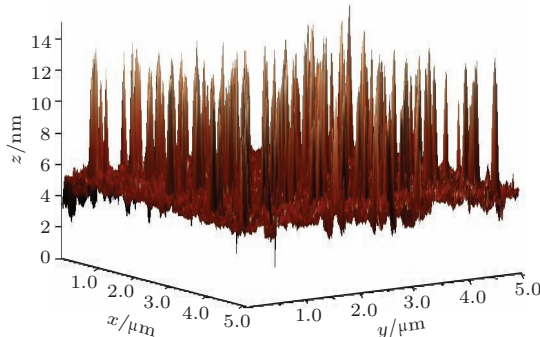


图1 Ag NPs的AFM图像(x 和 y 分别为在薄膜表面的纵向和横向扫描范围, z 为颗粒的直径)

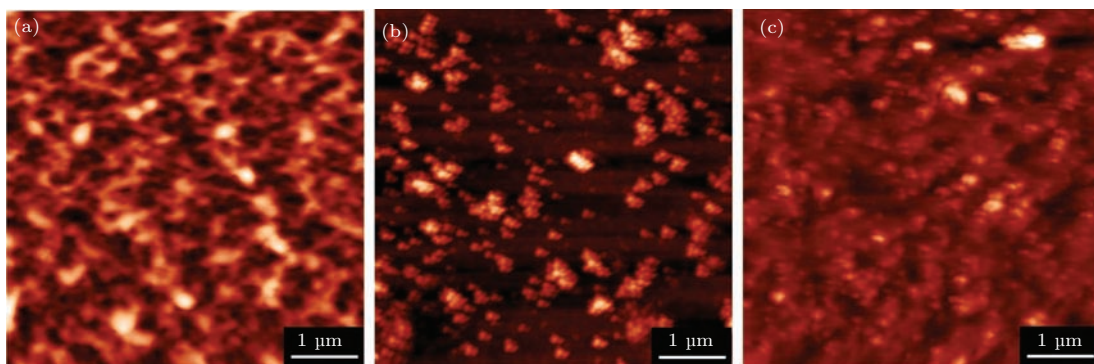


图3 阻变层各层的AFM表面形貌图 (a) 底层; (b) 中间层; (c) 顶层

2.3 DNA-CTMAB 的制备

首先, 将DNA以1 g/L的浓度溶于蒸馏水中, 室温下搅拌一天后超声处理2 min; 将CTMAB以1 g/L的浓度溶于蒸馏水, 并超声处理30 min, 得到澄清的溶液; 然后, 将DNA水溶液以1:1的体积比缓慢地加入到CTMAB水溶液中并放置约5 h, 形成DNA-CTMAB沉淀物; 再通过离心分离, 用蒸馏水洗涤, 收集沉淀物, 在真空中39 °C下干燥24 h; 最后, 将DNA-CTMAB沉淀物以6 mg/L的浓度溶解在乙醇中, 并在室温下搅拌24 h后备用.

2.4 实验方法

本实验以刻蚀好的ITO导电玻璃为基片, 分别用超纯水、丙酮和乙醇对其进行超声清洗后进行DNA-CTMAB薄膜的旋涂, 旋涂仪参数设置为先低速(400 r/min)旋转6 s, 再高速(2000 r/min)旋转25 s; 再以相同旋涂参数分别旋涂Ag NPs层和DNA-CTMAB层; 最后放入真空蒸发设备中, 在真空中度为 10^{-5} Torr ($1 \text{ Torr} = 1.33322 \times 10^2 \text{ Pa}$)的真空环境下, 进行金属电极Al的蒸发. 利用石英振荡器监控沉积速率和薄膜厚度, 沉积速率控制在0.1—0.2 nm/s之间, 薄膜厚度约为25 nm. Al电极的图案通过掩膜板实现. Al电极和ITO电极的宽度分别为3 mm和2 mm, 器件结构如图2所示.

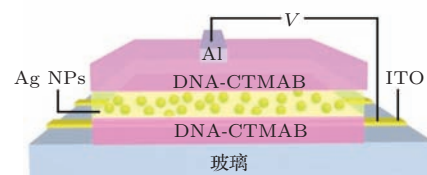


图2 Al/DNA-CTMAB/Ag NPs/DNA-CTMAB/ITO器件的结构示意图

薄膜的厚度采用轮廓膜厚分析仪 D-100 进行测量: ITO 的厚度约为 140 nm, DNA-CTMAB 约 80 nm 厚, 阻变层的总厚度约为 200 nm. 图 3 为阻变层各层的 AFM 表面形貌图. 图 3(a) 为底层 DNA-CTMAB 的表面形貌, 表面较均匀且无明显孔洞; 图 3(b) 为中间 Ag NPs 层的表面形貌, 颗粒虽有少量的团簇现象, 但其分布仍然比较均匀; 图 3(c) 为顶层 DNA-CTMAB 的表面形貌, 与底层相比, 其表面更加致密平整, 粗糙度约为 13 nm. 器件的电流-电压 (I - V) 特性曲线采用吉时利 2400-SCS 半导体参数分析仪测量, 扫描电压设置为 $0 \rightarrow V_{MAX} \rightarrow 0 \rightarrow -V_{MAX} \rightarrow 0$, 并且若无特殊说明, Al 电极接地, 在 ITO 电极上施加偏压. 所有测试都是在室温条件下大气环境中进行.

3 结果与分析

3.1 Al/DNA-CTMAB/Ag NPs/DNA-CTMAB/ITO 器件的忆阻特性

在不同的扫描电压幅值下对器件 Al/DNA-CTMAB/Ag NPs/DNA-CTMAB/ITO 进行测量, 其 I - V 曲线如图 4 所示. 由图 4 可以看出, 在不同 V_A 下, 器件均表现出明显的忆阻特性: 在电压由 $0 \rightarrow V_{MAX}$ 扫描的过程中, 器件先保持在高阻态, 当电压超过置位 (set) 电压 V_{SET} 之后, 随着电压的增大, 电流迅速增大, 器件转换为低阻态, 此过程为“写”; 反过来, 当电压由 $V_{MAX} \rightarrow 0$ 扫描时, 器件仍维持在低阻态, 此过程为“读”; 接着, 在电压由 $0 \rightarrow -V_{MAX}$ 扫描的过程中, 在复位 (reset) 电压 V_{RESET} 处, 器件又由低阻态转换到高阻态, 此过程为“擦”; 电压再由 $-V_{MAX} \rightarrow 0$ 扫描时, 器件维持在高阻态, 此过程为“读”. 也就是说, 该器件可以用来实现“写-读-擦-读”操作.

随着 V_A 的增大, 高阻态的电流变化较小, 而

低阻态的电流明显增大, 并且 V_{SET} , $-V_{RESET}$ 以及 V_{RESET} 处的电流 ($-I_{RESET}$) 都有所增大, 其数值见表 1. 同时, 随着 V_A 的增大, I_{ON}/I_{OFF} ($V = 1$ V) 也增大, 器件的忆阻特性呈现出增强的趋势, 与 Quyang [17] 的报道类似. 此外, 通过对器件进行连续扫描发现其稳定性较好, 重复扫描 50 个周期以上, 器件仍保持较好的忆阻特性. 但是, 如果 V_A 过高 (> 20 V), 扫描几个周期之后器件就会损坏; 如果太小 (< 6 V), 则几乎没有忆阻行为. 这表明器件的 I - V 特性受 V_A 的影响, 通过调节 V_A 可以小幅度地调节器件的忆阻性能.

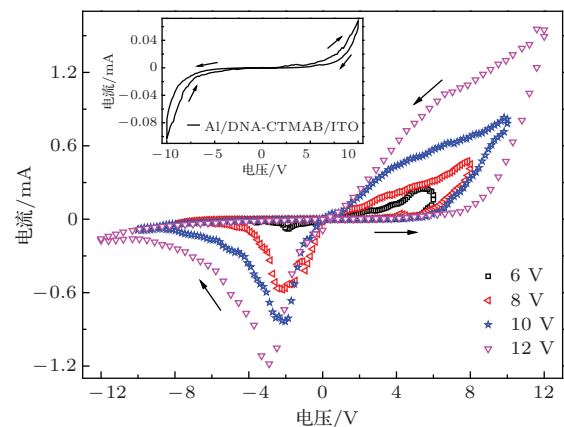


图 4 (网刊彩色) 器件 Al/DNA-CTMAB/Ag NPs/DNA-CTMAB/ITO 及器件 Al/DNA-CTMAB/ITO(内插图) 的 I - V 特性曲线, 扫描方向如箭头所示

为了排除蒸镀 Al 电极时产生的 Al_2O_3 对忆阻性能的影响, 我们以同样的条件制备了不含 Ag NPs 层的 Al/DNA-CTMAB/ITO 器件, 其 I - V 曲线如图 4 的内插图所示. 可以看出, 该器件的忆阻特性不明显, 电流仅为含 Ag NPs 层器件电流的 $1/40$, 并且低阻态电流与高阻态电流之间的差异非常小. 由此可知, Al_2O_3 对 Al/DNA-CTMAB/Ag NPs/DNA-CTMAB/ITO 器件忆阻特性的贡献非常小.

表 1 不同 V_A 下的 V_{SET} , V_{RESET} , I_{RESET} 以及 I_{ON}/I_{OFF}

	V_A /V			
	6	8	10	12
V_{SET} /V	4.58	5.15	5.25	7.03
V_{RESET} /V	-1.95	-2.24	-2.52	-2.9
I_{RESET} /A	-6.4×10^{-5}	-5.9×10^{-4}	-8.2×10^{-4}	-1.43×10^{-3}
I_{ON}/I_{OFF} ($V = 1$ V)	~ 326	~ 487	~ 514	~ 537

3.2 颗粒大小对器件 $I-V$ 特性的影响

为了研究 Ag NPs 的大小对器件忆阻性能的影响, 我们通过控制不同的沸腾时间, 制备了不同粒径的 Ag NPs, 其 AFM 图像如图 5(a)–(c) 所示, 可以看出其粒径分别为 12 nm, 15–20 nm 和 35–40 nm, 对应器件的 $I-V$ 曲线如图 5(d) 所示。从图 5(d) 可以看出, 器件的 $I-V$ 曲线随颗粒尺寸变化明显, 其电流及 I_{ON}/I_{OFF} 值如表 2 所列。随着颗粒尺寸的增大, 高、低阻态的电流都呈增大的趋势。粒径为 8 nm 时, 器件在 3 V 的低阻态电流为 8.74×10^{-5} A; 粒径为 12–20 nm 时, 低阻态电流为 1.12×10^{-3} – 5.65×10^{-3} A; 而当粒径为 35–40 nm 时, 低阻态电流达到了 5.592×10^{-2} A。也就是说,

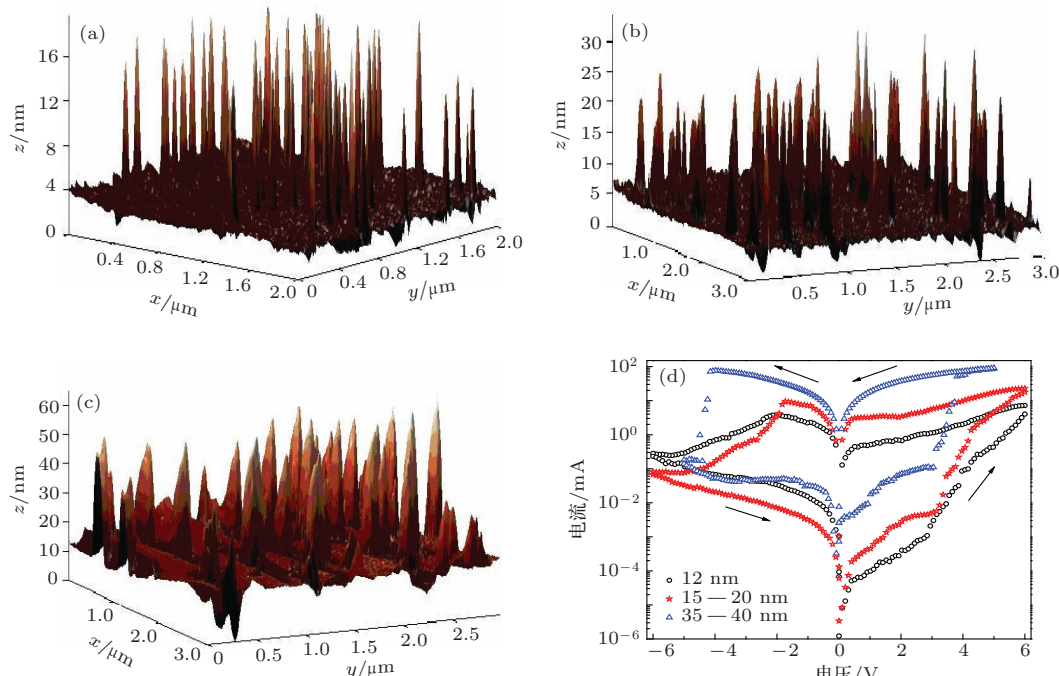


图 5 (网刊彩色) 不同粒径的 Ag NPs 的 AFM 图像及其对应器件的 $I-V$ 曲线 (a) 12 nm; (b) 15–20 nm; (c) 35–40 nm; (d) $I-V$ 曲线

表 2 Ag NPs 的粒径不同时器件 Al/DNA-CTMAB/Ag NPs/DNA-CTMAB/ITO 的 $I-V$ 特性

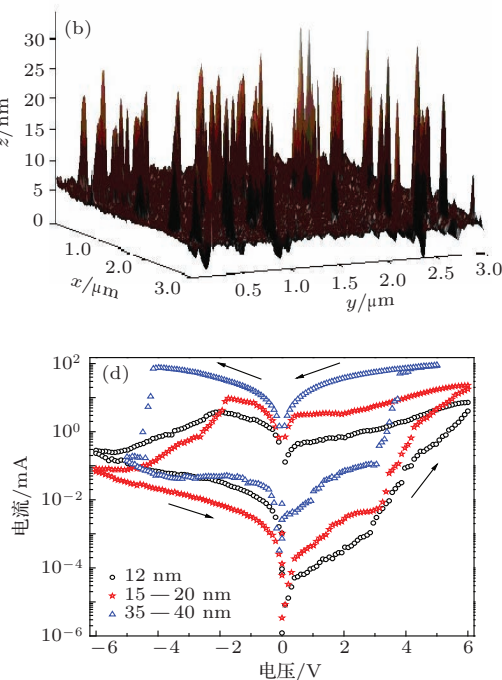
	Ag NPs 的粒径/nm			
	8	12	15–20	35–40
I_{MAX}/A	2.52×10^{-4}	7.17×10^{-3}	2.296×10^{-2}	9.126×10^{-2}
$I_{ON}/A (V = 3 V)$	8.74×10^{-5}	1.12×10^{-3}	5.65×10^{-3}	5.592×10^{-2}
$I_{OFF}/A (V = 3 V)$	2.52×10^{-7}	2.53×10^{-6}	4.78×10^{-6}	1.06×10^{-4}
$I_{ON}/I_{OFF} (V = 3 V)$	~ 347	~ 442	~ 1172	~ 528

3.3 器件的开关极性

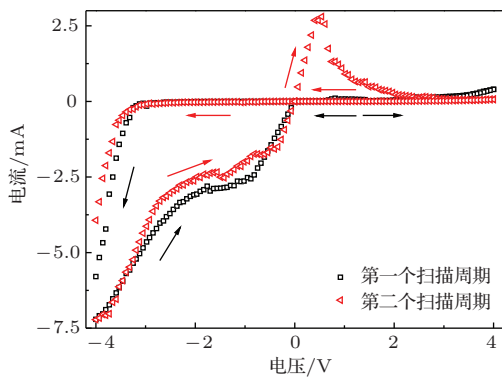
我们发现, 如果交换上下电极的极性, 即将 ITO 电极接地、在 Al 电极上施加偏压, 那么所

随着 Ag NPs 尺寸的增大, 器件的导电性明显增强, I_{ON}/I_{OFF} 也逐渐升高, 器件的忆阻特性逐渐增强, 在粒径为 15–20 nm 时达到了 10^3 (在 3 V 时, 约为 1172)。再继续增大颗粒的尺寸, I_{ON}/I_{OFF} 反而减小, 器件的忆阻特性逐渐减弱, 与 Reddy 等^[13] 的报道类似。可见, 选择适当尺寸的颗粒, 可以提高器件的导电能力及开关电流比。

从表 2 可以看出, 该器件的低阻态电流为 mA 量级, 这是由于器件的有效面积为 $2 \text{ mm} \times 3 \text{ mm}$ 。而导电通道的数目与薄膜的有效面积成正比, 因此将顶电极改为微米宽度时, 电流将减小为 μA 量级; 同理, 顶和底电极的宽度均为微米尺度时, 电流将减小到 nA 量级。



测得的 $I-V$ 曲线会发生有趣的变化。图 6 给出了 Ag NPs 的粒径为 15–20 nm 时器件 Al/DNA-CTMAB/Ag NPs/DNA-CTMAB/ITO 的初始两个扫描周期的 $I-V$ 特性曲线。在第一个扫描周期

图6 (网刊彩色) ITO电极接地的 I - V 特性曲线

(如黑色点线所示): 在电压由 $0 \rightarrow 4 \text{ V} \rightarrow 0$ 扫描时, 器件始终保持在高阻态; 由 $0 \rightarrow -4 \text{ V}$ 扫描, 当电压低于 -3.26 V 时, 反向电流快速增大, 器件由高阻态转换为低阻态; 再由 -4 V 扫描到 0 时, 器件仍维持在低阻态. 继续进行第二个循环扫描, 结果与第一次有所不同, 如图 6 红色点线所示: 在 $0 \rightarrow 0.55 \text{ V}$, 器件仍保持在低阻态, 而随着电压的继续增大, 电流逐渐减小, 出现了负微分电阻现象, 器件转变到高阻状态; 电压在 $4 \text{ V} \rightarrow 0 \rightarrow -4 \text{ V} \rightarrow 0$ 范围扫描时, 得到的 I - V 曲线与第一个扫描周期中得到的结果基本相同. 再继续对器件进行重复循环扫描, 得到的结果都与第二个扫描周期相同. 非常有趣的是, 第二个扫描周期的图像旋转 180° 后与图 4 基本一致. 也就是说, 只有外电场的方向为 $\text{ITO} \rightarrow \text{Al}$ 时, 器件才可能会打开, 实现由高阻状态向低阻状态的转变; 电场的方向为 $\text{Al} \rightarrow \text{ITO}$ 时, 器件只能转变为(或保持在)高阻状态, 这表明器件的开关

具有极性, 即忆阻器的开和关可以分别通过在 ITO 和 Al 电极上施加正偏压来实现.

3.4 Ag NPs层对DNA忆阻器性能的影响机理

在未嵌入 Ag NPs层的 $\text{Al}/\text{DNA-CTMAB}/\text{ITO}$ 器件中, 电流的产生主要靠电子的直接隧穿, 即电子由 Al 电极穿过活性介质到 ITO 电极, 如图 7(a) 所示. 由于 DNA 生物聚合物近似是绝缘体, 大多数注入电子不能到达 ITO 电极, 因此电流较小, 并且器件的忆阻特性不明显. 嵌入 Ag NPs 层后, 电极与 Ag NPs 层之间的厚度较小, 电子在一定电压下能够较容易地由 Al 电极隧穿到 Ag NPs 层并被 Ag NPs 中的陷阱俘获^[16], 如图 7(b) 所示. 虽然器件在电压增加的初始阶段处于高阻状态, 但是在 Ag 颗粒上已经积聚了一定量的电荷. 当电压增大到一定值, 陷阱被填满, 继续增大电压, 尖锐的 Ag NPs 会产生尖端放电, 电子在电场作用下到达阴极, 形成导电通道, 如图 7(c) 所示. 另一方面, 在极化电场的诱导下 Ag NPs 会发生氧化还原反应并沿电场方向发生迁移, 逐渐形成 Ag^+ 导电通道^[18], 使电流迅速增大, 器件转换到低阻状态. 当施加较大的负偏压时, 一方面陷阱中的电荷会脱陷, 如图 7(d) 所示; 另一方面 Ag NPs 会发生反向氧化还原反应, Ag NPs 也进行反向迁移, Ag^+ 通道发生断裂, 电阻增大, 器件又由低阻态转变到初始的高阻态.

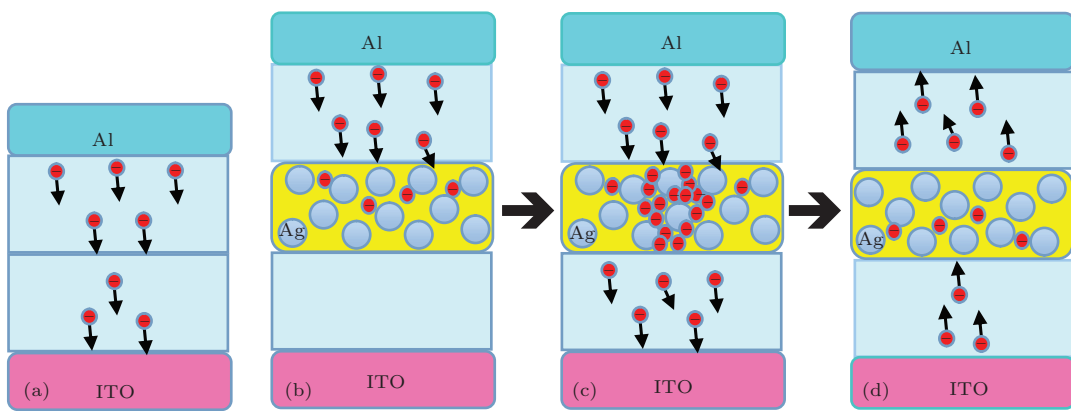


图7 Ag NPs层对DNA忆阻器性能的影响原理示意图 (a) 未嵌入 Ag NPs; (b)-(d) 嵌入 Ag NPs

随着 Ag NPs尺寸的增大, 接触面积增加, 颗粒之间的缝隙减小, 由此产生的势垒减小, 因此, 导电性增强, 高、低阻态的电流都增大, 颗粒俘获和释

放电荷的量增加, $I_{\text{ON}}/I_{\text{OFF}}$ 也呈增大的趋势. 随着 Ag NPs尺寸的继续增大, 颗粒尖端放电的能力减小, 纳米效应减弱, 陷阱作用减弱, 因此 $I_{\text{ON}}/I_{\text{OFF}}$

反而减小，阻变性能减弱。

另外，由于ITO电极的功函数(4.9 eV)较高，电子的注入能力相对较弱^[6]，当ITO电极接地、Al电极上施加偏压时，电子在低电压下不能从ITO隧穿到Ag NPs层，而被限制在DNA-CTMAB层中。在库仑阻塞效应的作用下，限制在DNA-CTMAB层中的电子会阻碍其他电子从ITO隧穿到Ag NPs层中。因此，在第一个扫描周期，在正偏压范围内器件始终处于高阻态。Al电极的功函数(4.1 eV)较低，电子的注入能力较强，施加负偏压时，电子能够从Al电极穿过DNA-CTMAB层隧穿到Ag NPs层并被陷阱俘获。当电压达到某一特定值时，Ag NPs层中的陷阱全部被填满。继续增大电压，电子能够较容易地由Al电极隧穿到Ag NPs层，再隧穿到ITO电极，即电流会迅速增大，器件转换到低阻态。当正偏压达到一定值时，Ag NPs层中被俘获的电荷会脱陷，形成库仑阻塞，电阻增大，使电流减小，因此，器件又转换到高阻态，并如此继续循环。

4 结 论

我们利用DNA生物聚合物和Ag NPs制备了一种基于“有机/金属NPs/有机”结构的有机忆阻器件，该器件能够很好地实现“写-读-擦-读”功能。Ag NPs层的嵌入，不仅使器件的导电性明显增强，而且忆阻特性显著提高。在颗粒的粒径为15—20 nm时，器件的忆阻性能最佳，开关电流比最大(达到10³)。器件的开关具有方向性，不同的电极连接方式，可以实现对器件的开-关转变顺序的调控。这些结论为忆阻器件的制备和实际应用提供了一定的参考。

参考文献

- [1] Chen R, Zhou L W, Wang J Y, Chen C J, Shao X L, Jiang H, Zhang K L, Lü L R, Zhao J S 2014 *Acta Phys. Sin.* **63** 067202 (in Chinese) [陈然, 周立伟, 王建云, 陈长军, 邵兴隆, 蒋浩, 张楷亮, 吕联荣, 赵金石 2014 物理学报 **63** 067202]
- [2] Wei X Y, Hu M, Zhang K L, Wang F, Liu K 2013 *Acta Phys. Sin.* **62** 047201 (in Chinese) [韦晓莹, 胡明, 张楷亮, 王芳, 刘凯 2013 物理学报 **62** 047201]
- [3] Zhang T, Yin J, Zhao G F, Zhang W F, Xia Y D, Liu Z G 2014 *Chin. Phys. B* **23** 087304
- [4] Chen J C, Liu C L, Sun Y S, Tung S H, Chen W C 2012 *Soft Matter* **8** 526
- [5] Ouyang J, Chu C W, Tseng R J H, Prakash A, Yang Y 2005 *Proc. IEEE* **93** 1287
- [6] Rong J L, Chen Y H, Zhou J, Zhang X, Wang L, Cao J 2013 *Acta Phys. Sin.* **62** 228502 (in Chinese) [容佳玲, 陈赟汉, 周洁, 张雪, 王立, 曹进 2013 物理学报 **62** 228502]
- [7] Chen J, Ma D 2005 *Appl. Phys. Lett.* **87** 023505
- [8] Lauters M, McCarthy B, Sarid D, Jabbour G E 2006 *Appl. Phys. Lett.* **89** 013507
- [9] Ouyang J, Chu C W, Szmama C R, Ma L, Yang Y 2004 *Nat. Mater.* **3** 918
- [10] Prakash A, Ouyang J, Lin J L, Yang Y 2006 *J. Appl. Phys.* **100** 054309
- [11] Tondelier D, Lmimouni K, Vuillaume D, Fery C, Haas G 2004 *Appl. Phys. Lett.* **85** 5763
- [12] Ma L P, Liu J, Yang Y 2002 *Appl. Phys. Lett.* **80** 2997
- [13] Reddy V S, Karak S, Dhar A 2009 *Appl. Phys. Lett.* **94** 173304
- [14] Bozano L D, Kean B W, Beinhoff M, Carter K R, Rice P M, Scott J C 2005 *Adv. Funct. Mater.* **15** 1933
- [15] Jin Z W, Liu G, Wang J Z 2013 *AIP Adv.* **3** 052113
- [16] Liu G, Jin Z W, Zhang Z G, Wang J Z 2014 *Appl. Phys. Lett.* **104** 023303
- [17] Ouyang J 2013 *Org. Electron.* **14** 665
- [18] Tian X Z, Yang S Z, Zeng M, Wang L F, Wei J K, Xu Z, Wang W L, Bai X D 2014 *Adv. Mater.* **26** 3649

Organic memristive devices based on DNA embedded in silver nanoparticles layer*

Wang Yuan Dong Rui-Xin Yan Xun-Ling[†]

(Key Laboratory of Optical Communication Science and Technology of Shandong Province, School of Physical Science and Information Engineering, Liaocheng University, Liaocheng 252059, China)

(Received 10 August 2014; revised manuscript received 13 October 2014)

Abstract

Two-terminal electrical bistable device is fabricated with structure “Al/deoxyribonucleic acid-cetyltrimethylammonium bromide/silver nanoparticles/deoxyribonucleic acid-cetyltrimethylammonium bromide/indium tin oxide”, and $I-V$ curves are measured. The results show that the conductivity and the memristive characteristics are significantly improved by the embedding Ag nanoparticles layer. The optimal particle diameters are in a range of 15–20 nm, and the maximum on/off current ratio can reach 10^3 . It is also found that $I-V$ characteristic of the device depends on the sweeping voltage amplitude V_A . As V_A increases, switching voltages (V_{SET} , V_{RESET}) and the on/off current ratio I_{ON}/I_{OFF} increase. Furthermore, the transition between high-and low-resistance-state depends on the direction of the applied electric field, which shows that the device possesses polarity.

Keywords: organic memristive device, DNA biopolymer, Ag nanoparticles

PACS: 84.32.-y, 73.61.-r, 73.21.Ac, 85.35.-p

DOI: 10.7498/aps.64.048402

* Project supported by the National Natural Science Foundation of China (Grant No. 11375081) and the Natural Science Foundation of Shandong Province, China (Grant Nos. ZR2012FM026, ZR2012FL20).

† Corresponding author. E-mail: yanxunling@lcu.edu.cn